

F.9064.- Aspecto genral del Muschelkalk inferior (M_1) en el anticlinal de Pauls.



F.9065.- Detalle de las dolomías de la lunidad anterior (M_1).



F.9066.- Arcillas rojas y yesos. Muschalkelk medio en Pauls.



F.9067.- Calizas y dolomías. Muschelkalk superior (M_3) en la carretera de Tortosa a Gandesa.



F.9068.- Detalle de la unidad anterior.



F.9069.- Rocas eruptivas triásicas. (Basaltos y Doleritas) en las proximidades del Barranco de la Chalamera (Carretera Tortosa-Gandesa).



F.9070.- Dolomías tableadas y Brechas (U-6 y U-7) en la Mola Grosa.



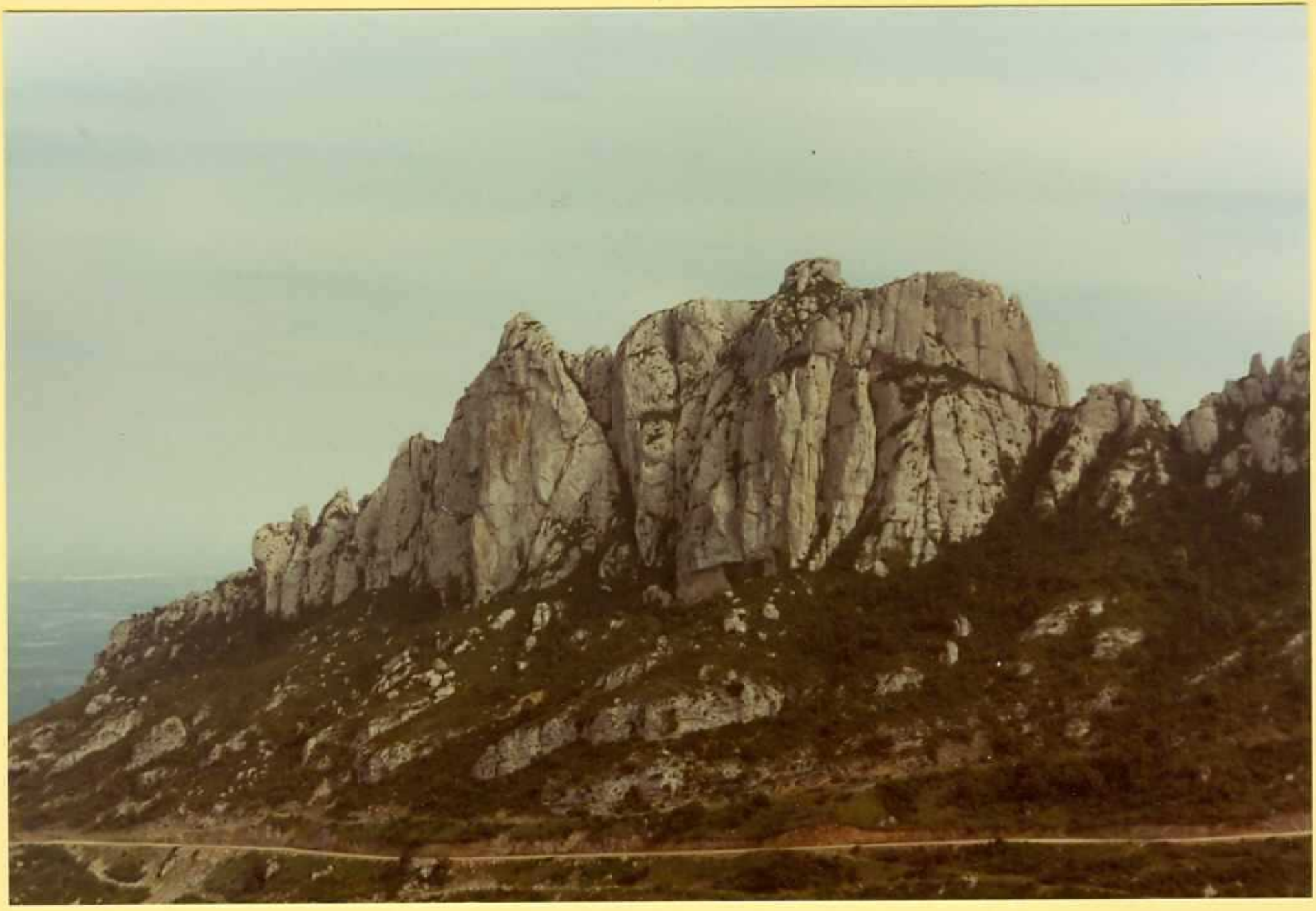
F.9071.- Brechas dolomíticas y Dolomías (U-7 y U-8) en Prat del Compte.



E.9072.- Calizas de filamentos (U-11) en las proximidades de Las Facies.



F.9073.- Vista general de la Sierra del Caro. Dolomías superiores (U-14).



F.9074.- Pista al Monte Caro. Dolomías masivas (U-14) y caliza de filamentos (U-11) Dogger-Malm.



F.9075.- Vista general de distintas unidades jurásicas diferenciadas en la cartografía (U-8, U-9, U-10, U-11 y U-12). Anticlinal del Tozal de Peñaflo.



F.9076.- Margas con abundantes Braquiópodos(base de la unidad U-9). Domeriense. Mola Grosa.



F.9077.- Techo de la unidad U-8 en la subida a la Mola Grosa Carixiense.



F.9078.- Vista general de las unidades U-8, U-9, U-10, U-11 desde la Mola Grosa.



F.9079.- Jurásico inferior (Lías) y Cretácico superior (Cenomaniense-Senoniense) en el Río Canaletas junto a la Estación de Pinell de Bray.



F.9080.- Suelo laterítico equivalente a la Fm. Arenas de Utrillas, y margas Cenomaniense. Base de la serie 3.200.



F.9081.- Ciclo de relleno de lagoon (Cenomaniense) en la serie 3.200.



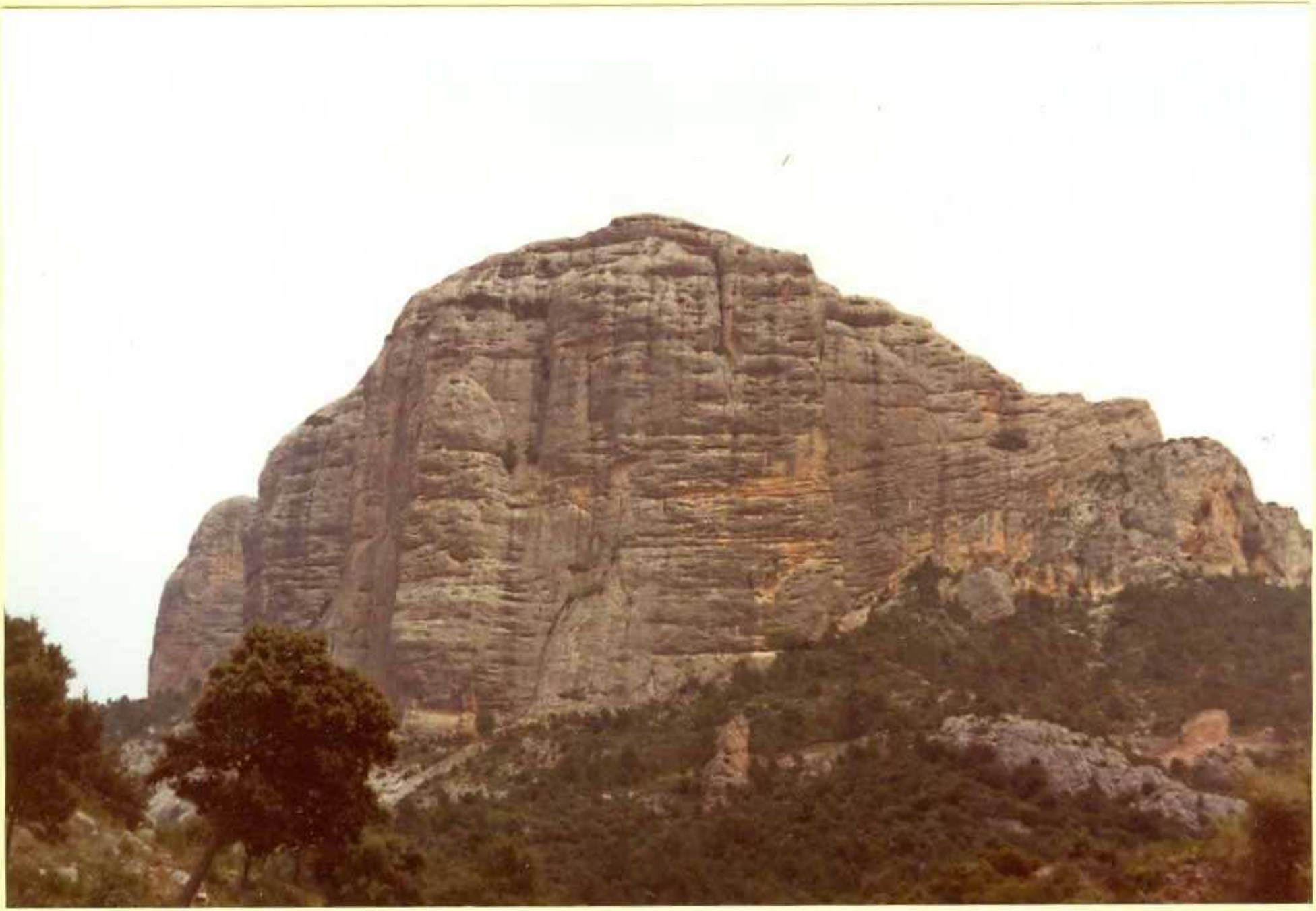
F.9082.- Secuencia de relleno de canal. Pista a la Mola Grosa. Serie 3.200.



F.9083.- Calizas y margas (Cenomanienses) en la pista de la Mola Grosa. Serie 3.200. Se interpreta como material de relleno de la laguna salobre.



F.9084.- Vista general de la serie 3.100. (Estación de Pinell de Bray). A la izquierda se observa los niveles carbonatados intercalados en la U-22.



F.9085.- Conglomerados calcáreos de la Roca Benet. (U-23).



F.9086.- Detalle de los conglomerados de la foto anterior.



F.9087.- Conglomerados de la Ermita (U-23).



F.9088.- Conglomerados y arcillas de la parte inferior de la U-23.



F.9090.- Contacto entre la U-23 y U-24 bajo los conglomerados de la Ermita (Carretera del Compte).



F.9091.- Areniscas y arcillas (U-22) con laminación paralela de alta energía y ripples a techo.



F.9092.- Calizas (U-20) en el Puente del Río Canaleta junto a la estación de Pinell de Bray (Carretera Tortosa-Gandesa).



F.9093.- Discordancia entre los conglomerados oligocenos (U-23) y los depósitos de relleno de la Depresión de Mora (Mioceno). (Carretera Tortosa-Gandesa).



F.9094.- Canal de areniscas en las proximidades de Horta de San Juan (Chattiense-Aquitaniense ?).



F.9095.- Vista general de las arenas y arcillas ocres (U-26) de relleno de la Depresión del Ebro. Arenas de Lledo.



F.9096.- Arcillas rojas U-24 (facies distales de Abanicos) y areniscas, arcillas y calizas U-25 en las proximidades de Lledo.



F.9097.- Unidad U-25. Carretera de Cretas a Lledo. Facies distales de los abanicos aluviales.



F.9098.- Canal de areniscas cortando a las facies distales de los abanicos (U-25). Estación de ferrocarril de Cretas.



F.9099.- Canal de areniscas con laminación cruzada plarnar en las proximidades de Valderrobres.



F.9100.- Vista general de los materiales del sistema de abanicos de la Depresión de Tortosa.



F.9101.- Detalle de la unidad anterior (U-28) en las proximidades a Regues.



F.9102.- Vista de una de las terrazas cementadas en el río Algas, cerca de Arens de Lledo.



F.9103.- Anticlinal de Alfara desde los puertos.



F.9104.-Frente cabalgante del borde de la Depresión del Ebro en las proximidades de Horta de San Juan..



F.9105.- Sinclinal de Peñagalera desde las proximidades de Beceite.



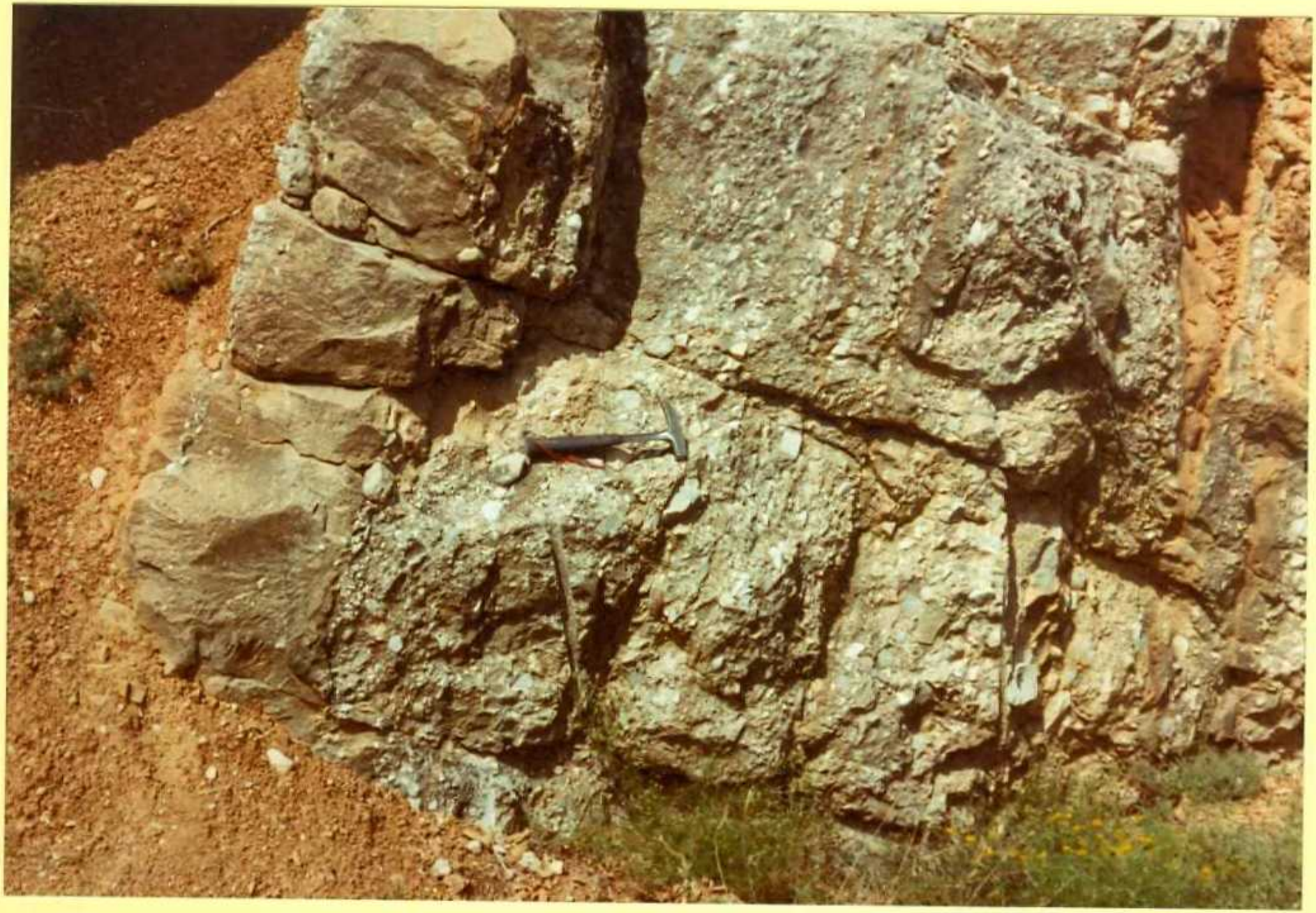
F.9106.- Vista general del anticlinal de Pauls desde la plana de Mola Grosa. Al fondo el Monte Caro.



F.9107.- Cabalgamiento de las calizas y dolomías jurásicas sobre los materiales terciarios (U-22) en la pista forestal al merendero (río Estret).



F.9108.- Vista general de la cordillera en su límite con la Depresión del Ebro. Al fondo los puertos de Alfara y Beceite.



F.9089.- Detalle de los canales de la foto anterior.